

2 Formulação das Equações

2.1. Introdução

Antes da discretização do domínio da estrutura em pequenos subdomínios, é necessária uma análise eletromagnética da mesma. Como observado em [11], o primeiro passo para a análise da estrutura é a formulação eletromagnética do problema, com objetivo de prepará-lo para aplicação do método dos elementos finitos.

Ao longo deste capítulo será descrita a aplicação das equações de Maxwell ao problema eletromagnético proposto, apresentando as equações e as suposições necessárias para a utilização do MEF. Serão apresentados também, os campos modais conforme mostrado em [15] e a relação necessária entre os raios interno e externo da estrutura coaxial estudada, de forma que se propague somente o modo fundamental TEM na entrada e saída da mesma.

2.2. Formulação Eletromagnética

A estrutura a ser considerada é composta por um guia de onda coaxial com simetria circular, estando seu eixo longitudinal coincidindo com o eixo z do sistema de coordenadas cilíndricas, conforme ilustrado na Figura 2.1. As características do meio no interior do cilindro são descritas pela permissividade e permeabilidade relativas dos meios, $\epsilon_R(\rho, z)$ e $\mu_R(\rho, z)$, respectivamente, funções azimutalmente independentes para manter a simetria circular da estrutura.

O guia coaxial é excitado apenas pelo modo TEM na porta Γ_1 , estando suas portas de entrada Γ_1 e saída Γ_2 afastadas das descontinuidades. A Região II contém as descontinuidades a serem analisadas, onde os modos superiores são excitados. Nas regiões I e III, os guias coaxiais uniformes são dimensionados para a propagação exclusiva do modo fundamental TEM nas duas direções e suas

extensões determinadas para que os modos superiores evanescentes, presentes na Região II, sejam atenuados

O modo fundamental TEM utilizado para excitar a estrutura não apresenta dependência azimutal, sendo H_ϕ e E_ρ as únicas componentes não nulas. Como observado em [11], devido às características da excitação do guia coaxial, independente de ϕ , os modos superiores excitados devido as não homogeneidades são os modos TM, que não apresentam componente longitudinal de campo magnético, com uma única componente de campo magnético \vec{H} (H_ϕ) não nula:

$$\vec{H} = H_\phi(\rho, z)\hat{i}_\phi \quad (2.1)$$

Por sua vez o campo elétrico apresenta componente azimutal nula:

$$\vec{E} = E_\rho(\rho, z)\hat{i}_\rho + E_z(\rho, z)\hat{i}_z \quad (2.2)$$

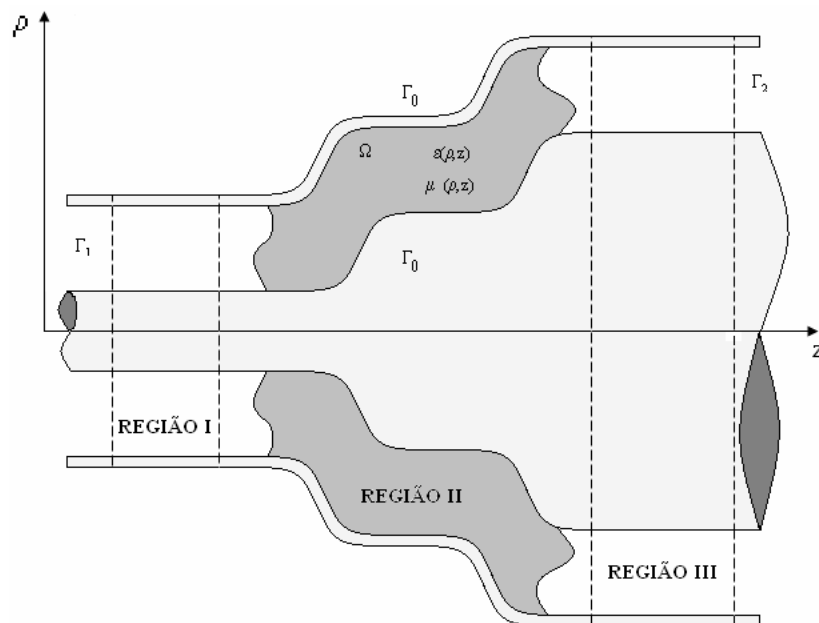


Figura 2.1 - Guia coaxial de simetria cilíndrica.

As equações de Maxwell permitem estabelecer a relação entre os campos \vec{E} , \vec{H} e as fontes harmônicas ($e^{j\omega t}$),

$$\nabla \times \vec{H} = j\omega\epsilon\vec{E} + \vec{J} \quad (2.3)$$

$$\nabla \times \vec{E} = -j\omega\mu\vec{H} - \vec{M} \quad (2.4)$$

$$\nabla \cdot \vec{D} = \rho \quad (2.5)$$

$$\nabla \cdot \vec{B} = \rho_m \quad (2.6)$$

com duas equações que expressam a continuidade das cargas,

$$\nabla \cdot \vec{J} = i\omega\rho \quad (2.7)$$

$$\nabla \cdot \vec{M} = i\omega\rho_m \quad (2.8)$$

e dois parâmetros constitutivos de meios lineares e isotrópicos.

$$\varepsilon = \varepsilon_0\varepsilon_R(\rho, z) = \frac{D}{E} \quad (2.9)$$

$$\mu = \mu_0\mu_R(\rho, z) = \frac{B}{H} \quad (2.10)$$

Onde:

ε - permissividade do meio.

μ - permeabilidade do meio.

ρ - densidade volumétrica de carga elétrica.

ρ_m - densidade volumétrica de carga magnética.

\vec{J} - densidade superficial de corrente elétrica.

\vec{M} - densidade superficial de corrente magnética.

ε_R - permissividade relativa do meio.

μ_R - permeabilidade relativa do meio.

No interior da guia coaxial não existem fontes de corrente ($\vec{J} = \vec{M} = 0$) permitindo que as equações (2.3) e (2.4) possam ser re-expressas como:

$$\nabla \times \vec{H} = j\omega\epsilon\vec{E} \quad (2.11)$$

$$\nabla \times \vec{E} = -j\omega\mu\vec{H} \quad (2.12)$$

Estas equações podem ser combinadas para obter a equação de onda:

$$\nabla \times \left[\frac{\nabla \times \vec{H}}{\epsilon_r(\rho, z)} \right] - k_0^2 \mu_r(\rho, z) \vec{H} = 0 \quad (2.13)$$

onde k_0 é a constante de propagação no espaço livre dada por:

$$k_0 = \omega\sqrt{\epsilon_0\mu_0} \quad (2.14)$$

2.3. Campos Sobre o Contorno da Região

Como mencionado anteriormente, as regiões I e III serão suficientemente longas para que seja possível considerar que nas portas 1 e 2 existam somente os campos do modo TEM. Na porta 1 existirão os modos TEM incidente e refletido pelas discontinuidades na Região II, se propagando na direção z-positivo e z-negativo, respectivamente, como ilustrado na Figura 2.2. Na porta 2 existirá somente o modo TEM transmitido se propagando na direção z-positivo. O campo magnético H_ϕ^i representa o campo incidente sobre a porta de entrada, o campo magnético H_ϕ^s representa o campo magnético refletido e H_ϕ^t representa o campo transmitido.

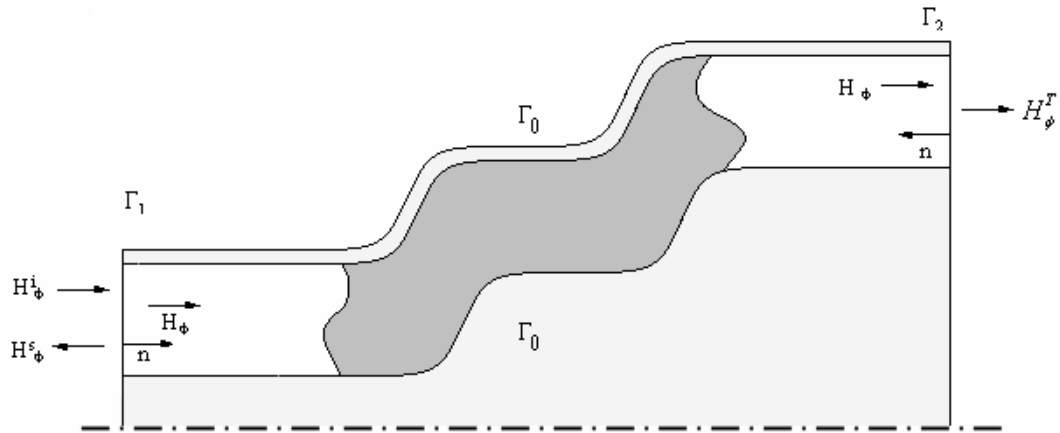


Figura 2.2 – Análise dos campos nas portas de entrada e de saída.

Como mostrado na Figura 2.2, o campo magnético total sobre as portas Γ_1 e Γ_2 será dado por:

$$H_\phi|_{\Gamma_1} = H_\phi^i|_{\Gamma_1} + H_\phi^s|_{\Gamma_1} \quad (2.15)$$

$$H_\phi|_{\Gamma_2} = H_\phi^t|_{\Gamma_2} \quad (2.16)$$

Considerando os campos do modo fundamental TEM, pode-se representar o campo magnético incidente, refletido e transmitido da seguinte forma:

$$H_\phi^i(\rho, z) = H_\phi^i(\rho)e^{-jkz} = \frac{H^i}{\rho}e^{-jkz} \quad (2.17)$$

$$H_\phi^s(\rho, z) = H_\phi^s(\rho)e^{jkz} = \frac{H^s}{\rho}e^{jkz} \quad (2.18)$$

$$H_\phi^t(\rho, z) = H_\phi^t(\rho)e^{-jkz} = \frac{H^t}{\rho}e^{-jkz} \quad (2.19)$$

Nas paredes do guia de onda coaxial Γ_0 , a componente tangencial do campo elétrico é nula, para satisfazer a condição de contorno sobre o metal condutor. Sobre as portas Γ_1 e Γ_2 pode-se estabelecer uma relação entre o campo elétrico e o campo magnético utilizando a equação (2.11).

$$\vec{E} = \frac{\nabla \times \vec{H}}{j\omega\epsilon} = \frac{1}{j\omega\epsilon} \left(-\frac{\partial H_\phi}{\partial z} \hat{i}_\rho + \frac{1}{\rho} \frac{\partial(\rho H_\phi)}{\partial \rho} \hat{i}_z \right) \quad (2.20)$$

Considerando as expressões (2.17) e (2.18), para os campos do modo TEM, temos que a componente axial de campo elétrico E_z é nula.

$$E_z = \frac{1}{j\omega\epsilon} \left[\frac{1}{\rho} \frac{\partial(\rho H_\phi)}{\partial \rho} \right]_{\Gamma_1, \Gamma_2} = 0 \quad (2.21)$$

A componente radial de campo elétrico pode ser obtida a partir das equações:

$$E_\rho|_{\Gamma_1} = \frac{1}{j\omega\epsilon} \left[-\frac{\partial H_\phi}{\partial z} \right]_{\Gamma_1} = -\frac{1}{j\omega\epsilon} \frac{\partial}{\partial z} (H_\phi^i + H_\phi^s) \Big|_{\Gamma_1} = \frac{k}{\omega\epsilon} [H_\phi^i - H_\phi^s] \Big|_{\Gamma_1} \quad (2.22)$$

$$E_\rho|_{\Gamma_2} = \frac{1}{j\omega\epsilon} \left[-\frac{\partial H_\phi}{\partial z} \right]_{\Gamma_2} = -\frac{1}{j\omega\epsilon} \frac{\partial}{\partial z} (H_\phi^t) \Big|_{\Gamma_2} = \frac{k}{\omega\epsilon} [H_\phi^t] \Big|_{\Gamma_2} \quad (2.23)$$

Utilizando (2.15), podemos reescrever o campo elétrico sobre a porta Γ_1 , exclusivamente em termos do campo magnético incidente.

$$E_\rho|_{\Gamma_1} = \frac{k}{\omega\epsilon} [2H_\phi^i - H_\phi] \quad (2.24)$$

2.4. Aplicação do Método de Galerkin

A solução da equação de onda (2.13) pelo método de Galerkin pressupõe o produto interno dos termos da equação de onda por uma função vetorial peso \vec{W} .

Aplicando o método de Galerkin e realizando a integração volumétrica nos dois termos da equação (2.13) temos:

$$\int_V \nabla \times \left[\frac{\nabla \times \vec{H}}{\varepsilon_r(\rho, z)} \right] \cdot \vec{W} dV - \int_V k_0^2 \vec{H} \cdot \vec{W} dV = 0 \quad (2.25)$$

onde V define o volume da estrutura a ser analisada.

A aplicação da igualdade,

$$\nabla \cdot [\vec{U} \times \vec{V}] = \vec{V} \cdot (\nabla \times \vec{U}) - \vec{U} \cdot (\nabla \times \vec{V}) \quad (2.26)$$

permite reestruturar o primeiro termo da equação (2.25):

$$\int_V \nabla \times \left[\frac{\nabla \times \vec{H}}{\varepsilon_r(\rho, z)} \right] \cdot \vec{W} dV = \int_V \nabla \cdot \left[\frac{1}{\varepsilon_r(\rho, z)} (\nabla \times \vec{H}) \times \vec{W} \right] dV + \int_V \frac{1}{\varepsilon_r(\rho, z)} [\nabla \times \vec{W} \cdot \nabla \times \vec{H}] dV \quad (2.27)$$

Aplicando o teorema de Gauss, o primeiro termo da equação pode ser reescrito como:

$$\int_V \nabla \times \left[\frac{\nabla \times \vec{H}}{\varepsilon_r(\rho, z)} \right] \cdot \vec{W} dV = \oint_S \frac{1}{\varepsilon_r(\rho, z)} [\nabla \times \vec{H} \times \vec{W}] \cdot \hat{n} ds + \int_V \frac{1}{\varepsilon_r(\rho, z)} [\nabla \times \vec{W} \cdot \nabla \times \vec{H}] dV \quad (2.28)$$

onde S é a superfície que define o contorno do volume V e \vec{n} é um vetor unitário normal a S.

Utilizando a expressão (2.28), a equação (2.25) pode ser escrita como se segue:

$$\int_V \frac{1}{\varepsilon_r(\rho, z)} [\nabla \times \vec{W} \cdot \nabla \times \vec{H}] dV - \int_V k_0^2 \vec{H} \cdot \vec{W} dV = - \oint_S \frac{1}{\varepsilon_r(\rho, z)} [\nabla \times \vec{H} \times \vec{W}] \cdot \hat{n} ds \quad (2.29)$$

Através da equação (2.11) o rotacional do campo magnético pode ser substituído na equação anterior, resultando em:

$$\int_V \frac{1}{\varepsilon_r(\rho, z)} [\nabla \times \vec{W} \cdot \nabla \times \vec{H}] dV - \int_V k_0^2 \vec{H} \cdot \vec{W} dV = - \oint_S j\omega [\vec{E} \times \vec{W}] \cdot \hat{n} ds \quad (2.30)$$

Utilizando a propriedade da comutação $(\vec{W} \times \vec{E}) \cdot \hat{n} = (\hat{n} \times \vec{E}) \cdot \vec{W}$, a integral sobre o contorno pode ser expressa por:

$$\int_V \frac{1}{\varepsilon_r(\rho, z)} [\nabla \times \vec{W} \cdot \nabla \times \vec{H}] dV - \int_V k_0^2 \vec{H} \cdot \vec{W} dV = -j\omega \oint_S (\hat{n} \times \vec{E}) \cdot \vec{W} ds \quad (2.31)$$

Nas paredes metálicas da estrutura coaxial, a componente tangencial de campo elétrico é nula $(\hat{n} \times \vec{E})|_S = 0$, fazendo com que a integral sobre o contorno tenha somente as contribuições sobre as portas 1 e 2.

$$\int_V \frac{1}{\varepsilon_r(\rho, z)} [\nabla \times \vec{W} \cdot \nabla \times \vec{H}] dV - \int_V k_0^2 \vec{H} \cdot \vec{W} dV = -j\omega \oint_{S_1} (\hat{n} \times \vec{E}) \cdot \vec{W} ds - j\omega \oint_{S_2} (\hat{n} \times \vec{E}) \cdot \vec{W} ds \quad (2.32)$$

A segunda parte da equação (2.32) pode ser reescrita da seguinte forma:

$$-j\omega \oint_{S_1} (\hat{n} \times \vec{E}) \cdot \vec{W} ds - j\omega \oint_{S_2} (\hat{n} \times \vec{E}) \cdot \vec{W} ds = -j\omega \sum_{i=1}^2 \oint_{S_i} (\hat{n} \times \vec{E}) \cdot \vec{W} ds \quad (2.33)$$

Substituindo as equações (2.20) e (2.21) na equação (2.33):

$$-j\omega \sum_{i=1}^2 \oint_{S_i} (\hat{n} \times \vec{E}) \cdot \vec{W} ds = - \sum_{i=1}^2 \oint_{S_i} \frac{1}{\varepsilon} \left(\frac{\partial H_\phi}{\partial z} \right) \cdot \vec{W} ds \quad (2.34)$$

Portanto, de acordo com a equação (2.34), temos que a contribuição sobre as portas 1 e 2, podem ser reescritas conforme mostrado nas equações (2.35) e (2.36)

$$-\oint_{S_1} \frac{1}{\varepsilon} \left(\frac{\partial H_\phi}{\partial z} \right) \bar{W} ds = jk \oint_{S_1} \frac{1}{\varepsilon} (2H_\phi^i - H_\phi) \bar{W} ds \quad (2.35)$$

$$-\oint_{S_2} \frac{1}{\varepsilon} \left(\frac{\partial H_\phi}{\partial z} \right) \bar{W} ds = jk \oint_{S_2} \frac{1}{\varepsilon} (H_\phi) \bar{W} ds \quad (2.36)$$

De acordo com as equações (2.35) e (2.36), a equação (2.32) pode ser reescrita da seguinte forma:

$$\int_V \frac{1}{\varepsilon_r} \nabla \times \bar{H} \cdot \nabla \times \bar{w} dV - k_0^2 \mu_r \int_V \bar{H} \cdot \bar{w} dV + \frac{jk_0}{\sqrt{\varepsilon_{r1}}} \int_{S_1} \bar{H} \bar{w} ds + \quad (2.37)$$

$$\frac{jk_0}{\sqrt{\varepsilon_{r2}}} \int_{S_2} \bar{H} \bar{w} ds - 2 \frac{jk_0}{\sqrt{\varepsilon_{r1}}} \int_{S_1} \bar{H}^i \bar{w} ds = 0$$

Como mencionado nas seções anteriores, devido a simetria circular da estrutura e da fonte de excitação, o campo magnético no interior do dispositivo terá uma única componente na direção azimutal ($H(\rho, z) = H_\phi(\rho, z) \hat{i}_\phi$). Conseqüentemente, para aplicação do método de Galerkin será utilizada a seguinte função teste $\bar{W}(\rho, z) = W(\rho, z) \hat{i}_\phi$, independente da coordenada azimutal. Estas características permitem introduzir simplificações na equação (2.37). Desta forma as integrais em ϕ podem ser realizadas pela multiplicação do fator 2π nos termos da equação (2.37), transformando as integrais volumétricas em superficiais e as superficiais em lineares.

$$2\pi \iint_{\Omega} \left\{ \frac{1}{\varepsilon(\rho, z)} [\nabla \times \bar{H} \cdot \nabla \times \bar{W}] - k_0^2 \mu_r \bar{H} \cdot \bar{W} \right\} d\rho dz + \frac{jk_0}{\sqrt{\varepsilon_{r1}}} \left\{ \int_{\Gamma_1} \bar{H} \cdot \bar{W} d\rho \right\}_{z=-l_1} + \quad (2.38)$$

$$+ \frac{jk_0}{\sqrt{\varepsilon_{r2}}} \left\{ \int_{\Gamma_2} \bar{H} \cdot \bar{W} d\rho \right\}_{z=-l_2} = 2 \frac{jk_0}{\sqrt{\varepsilon_{r1}}} \int_{\Gamma_1} \bar{H}^i \cdot \bar{W} d\rho$$

onde Ω é a seção transversal da estrutura circularmente simétrica e Γ_1 e Γ_2 são segmentos que representam as portas de entrada e saída, respectivamente.

2.5. Campos Modais e Freqüência de Corte

2.5.1. Solução da Equação de Onda Para os Modos TM

Como mostrado em [13] e [14], em um guia preenchido com um meio homogêneo e sem perdas, os campos para os modos TM podem ser escritos em termos do vetor potencial magnético $\vec{A} = A_z \hat{i}_z$, com uma única componente na direção axial, condição suficiente para atender as condições de contorno sobre as paredes do guia. Em termos de \vec{A} , as equações para o campo elétrico e magnético podem ser reescritas, como mostrado em [13].

$$\vec{H} = \frac{1}{\mu} \nabla \times \vec{A} \quad (2.39)$$

$$\vec{E} = \frac{1}{j\omega\epsilon} \nabla \times \vec{H} = -j\omega\vec{A} - j\frac{1}{\omega\mu\epsilon} \nabla(\nabla \cdot \vec{A}) \quad (2.40)$$

A equação de onda em termos de \vec{A} para uma região sem fontes pode ser expressa por:

$$\nabla^2 A + k^2 A = 0 \quad (2.41)$$

A qual pode ser reescrita em função da componente A_z utilizada para representar os modos TM.

$$\nabla^2 A_z + k^2 A_z = 0 \quad (2.42)$$

Em coordenadas cilíndricas, $A_z(\rho, \phi, z)$ é expressa por:

$$\frac{\partial^2 A_z}{\partial \rho^2} + \frac{1}{\rho} \frac{\partial A_z}{\partial \rho} + \frac{1}{\rho^2} \frac{\partial^2 A_z}{\partial \phi^2} + \frac{\partial^2 A_z}{\partial z^2} + k^2 A_z = 0 \quad (2.43)$$

Onde k , é a constante de propagação:

$$k^2 = \omega \sqrt{\mu \varepsilon} = 2\pi f \sqrt{\mu \varepsilon} \quad (2.44)$$

O método de separação de variáveis pode ser utilizado para representar a dependência de A_z em termos das coordenadas cilíndricas:

$$A_z(\rho, \phi, z) = f(\rho)g(\phi)h(z) \quad (2.45)$$

Como observado em [13], a resolução da equação (2.43) fornece a seguinte solução para os termos da equação(2.45):

$$f(\rho) = [A J_m(\chi_{mn}^{TM} \rho) + B Y_m(\chi_{mn}^{TM} \rho)] \quad (2.46)$$

$$g(\phi) = [C_2 \cos(m\phi) + D_2 \sin(m\phi)] \quad (2.47)$$

$$h(z) = [A_3 e^{-j\beta_z z} + B_3 e^{j\beta_z z}] \quad (2.48)$$

Sendo:

$$\beta_z = \sqrt{\left(k_0^2 - (\chi_{mn}^{TM})^2\right)} \quad (2.49)$$

onde:

J_m – funções de bessel de primeira espécie de ordem m .

Y_m – funções de bessel de segunda espécie de ordem m .

m - dependência azimutal da onda.

χ_{mn}^{TM} - constante para a dependência em ρ .

β_z - constante de propagação da onda na direção axial.

Pode ser observado que $f(\rho)$ representa o comportamento estacionário da onda na direção radial, $g(\phi)$ o comportamento azimutal periódico da distribuição do campo no interior do guia de onda coaxial e $h(z)$ o comportamento longitudinal da onda. Logo, a equação (2.45) pode ser reescrita da seguinte forma:

$$A_z(\rho, \phi, z) = [A J_m(\chi_{mn}^{TM} \rho) + B Y_m(\chi_{mn}^{TM} \rho)] [C_2 \cos(m\phi) + D_2 \sin(m\phi)] [A_3 e^{-j\beta_z z} + B_3 e^{j\beta_z z}] \quad (2.50)$$

Representando o campo elétrico e magnético em função do potencial vetor \vec{A} , obtêm-se as seguintes equações:

$$E_\rho = -j \frac{1}{\omega \mu \epsilon} \frac{\partial^2 A_z}{\partial \rho \partial z} \quad (2.51)$$

$$E_\phi = -j \frac{1}{\omega \mu \epsilon \rho} \frac{\partial^2 A_z}{\partial \phi \partial z} \quad (2.52)$$

$$E_z = -j \frac{1}{\omega \mu \epsilon} \frac{\partial^2 A_z}{\partial z^2} - j \frac{k^2}{\omega \mu \epsilon} A_z \quad (2.53)$$

$$H_\rho = + \frac{1}{\mu \rho} \frac{\partial A_z}{\partial \phi} \quad (2.54)$$

$$H_\phi = - \frac{1}{\mu} \frac{\partial A_z}{\partial \rho} \quad (2.55)$$

$$H_z = 0 \quad (2.56)$$

Substituindo a equação (2.50) em (2.51), (2.52) e (2.53), temos as seguintes expressões para os componentes de campo dos modos TM:

$$E_{\rho n}^{TM} = -\frac{\chi_{mn}^{TM} \beta_z}{\omega \mu \epsilon} Z'_m(\chi_{mn}^{TM} \rho) \{C_2 \cos(m\phi) + D_2 \sin(m\phi)\} e^{\mp j \beta_z z} \quad (2.57)$$

$$E_{\phi n}^{TM} = -\frac{m \beta_z}{\omega \mu \epsilon} Z_m(\chi_{mn}^{TM} \rho) \{C_2 \cos(m\phi) - D_2 \sin(m\phi)\} e^{\mp j \beta_z z} \quad (2.58)$$

$$E_{z n}^{TM} = -j \frac{(\chi_{mn}^{TM})^2}{\omega \mu \epsilon} Z_m(\chi_{mn}^{TM} \rho) \{C_2 \cos(m\phi) + D_2 \sin(m\phi)\} e^{\mp j \beta_z z} \quad (2.59)$$

sendo:

$$Z_m(\chi_{mn}^{TM} \rho) = BN_m(\chi_{mn}^{TM} \rho) - AJ_m(\chi_{mn}^{TM} \rho) \quad (2.60)$$

$$Z'_m(\chi_{mn}^{TM} \rho) = BN'_m(\chi_{mn}^{TM} \rho) - AJ'_m(\chi_{mn}^{TM} \rho) \quad (2.61)$$

Sabendo que:

$$\eta_{mn}^{TM} = \frac{\beta_z}{\omega \epsilon} \quad (2.62)$$

Logo:

$$H_{\rho n}^{TM} = -\frac{E_{\phi n}^{TM}}{\eta_{mn}^{TM}} \quad (2.63)$$

$$H_{\phi n}^{TM} = \frac{E_{\rho n}^{TM}}{\eta_{mn}^{TM}} \quad (2.64)$$

$$H_{z n}^{TM} = 0 \quad (2.65)$$

Para representar os modos TM existentes no guia coaxial é necessário que as equações anteriores satisfaçam as condições de contorno ($\vec{n} \times \vec{E} = 0$) junto às

paredes dos cilindros interno e externo de raios a e b , respectivamente. Isto pode ser expresso pelas seguintes condições.

$$E_{zn}^{TM}(\rho = a) = 0 \quad (2.66)$$

$$E_{zn}^{TM}(\rho = b) = 0$$

O que resulta em um sistema de duas equações lineares em termos de A e B :

$$A Jm(\chi_{mn}^{TM} a) + B Ym(\chi_{mn}^{TM} a) = 0 \quad (2.67)$$

$$A Jm(\chi_{mn}^{TM} b) + B Ym(\chi_{mn}^{TM} b) = 0 \quad (2.68)$$

Assim, resolvendo esse sistema de equações, temos

$$\frac{A}{B} = \frac{Jm(\chi_{mn}^{TM} a)}{Ym(\chi_{mn}^{TM} a)} = \frac{Jm(\chi_{mn}^{TM} b)}{Ym(\chi_{mn}^{TM} b)} \quad (2.69)$$

resultando em

$$Jm(\chi_{mn}^{TM} a)Ym(\chi_{mn}^{TM} b) = Jm(\chi_{mn}^{TM} b)Ym(\chi_{mn}^{TM} a) \quad (2.70)$$

o que permite estabelecer:

$$A = -N_m(\chi_{mn}^{TM} a) \quad (2.71)$$

$$B = J_m(\chi_{mn}^{TM} a) \quad (2.72)$$

As raízes da equação (2.70) χ_{mn}^{TM} são conhecidas como números de ondas de corte, estando associadas ao modo TM_{mn}^z de ordem n e relacionadas com a constante de propagação β_z através da equação(2.49).

2.5.1.1.

Aproximação Para as Raízes da Equação Característica dos Modos TM

Para argumento grande, as funções de Bessel de primeira e de segunda espécie são dadas, podem ser aproximadas por:

$$J_m(x) = \sqrt{\frac{2}{\pi x}} \cos\left(x - \frac{\pi}{4} - \frac{m\pi}{2}\right) \quad (2.73)$$

$$Y_m(x) = \sqrt{\frac{2}{\pi x}} \operatorname{sen}\left(x - \frac{\pi}{4} - \frac{m\pi}{2}\right) \quad (2.74)$$

Utilizando estas aproximações para representar a equação característica para o modo TM, equação (2.70), tem-se que:

$$\begin{aligned} & \sqrt{\frac{2}{\pi \chi_{mn}^{TM} a}} \cos\left(\chi_{mn}^{TM} a - \frac{\pi}{4} - \frac{m\pi}{2}\right) \sqrt{\frac{2}{\pi \chi_{mn}^{TM} b}} \operatorname{sen}\left(\chi_{mn}^{TM} b - \frac{\pi}{4} - \frac{m\pi}{2}\right) + \\ & - \sqrt{\frac{2}{\pi \chi_{mn}^{TM} b}} \cos\left(\chi_{mn}^{TM} b - \frac{\pi}{4} - \frac{m\pi}{2}\right) \sqrt{\frac{2}{\pi \chi_{mn}^{TM} a}} \operatorname{sen}\left(\chi_{mn}^{TM} a - \frac{\pi}{4} - \frac{m\pi}{2}\right) \cong 0 \end{aligned} \quad (2.75)$$

sabendo que:

$$\operatorname{sen}(u - v) = \operatorname{sen} u \cos v - \cos u \operatorname{sen} v \quad (2.76)$$

tem-se, para $l=1,2,3,\dots$:

$$\operatorname{sen}(\chi_{mn}^{TM} b - \chi_{mn}^{TM} a) = 0 \quad (2.77)$$

$$b - a = \frac{l\pi}{\chi_{mn}^{TM}} \quad (2.78)$$

A frequência de corte é determinada para valores de frequência que tornam $\beta_z = 0$, representando a transição entre as condições evanescente e propagante.

$$\chi_{mn}^{TM} = \frac{l\pi}{b-a} = k_0 = \frac{2\pi}{\lambda_{cl}} \quad (2.79)$$

$$\lambda_{cl} = (b-a) \frac{2}{l} \quad (2.80)$$

Para que o modo se propague é necessário que $k_0 > \chi_{mn}^{TM}$, o que resulta em:

$$(b-a) > \frac{l\lambda}{2} \quad (2.81)$$

Para exemplificar os resultados fornecidos pela equação(2.70), a Figura 2.3 ilustra os valores da frequência de corte obtidos para o primeiro modo (TM_{01}) em função da razão entre os raios interno e o externo (a/b). Fixando o valor do raio externo para 15 mm.

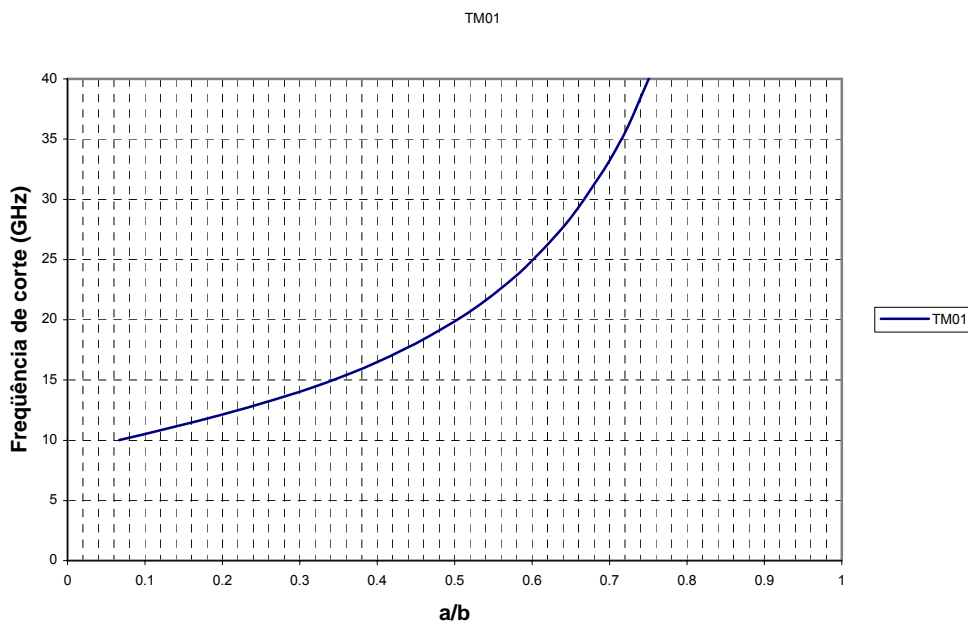


Figura 2.3 - Frequência de corte para o modo TM_{01} fixando b em 15 mm

2.5.2. Modo Transversal Eletromagnético (TEM)

O modo TEM tem como característica possuir as componentes do campo elétrico e magnético transversais a direção da propagação, sendo as componentes do campo magnético dadas por:

$$\vec{H} = -\frac{1}{j\omega\mu} \nabla \times \vec{E} \quad (2.82)$$

Resultando em:

$$H_{\phi}^{TEM} = \frac{1}{\eta\rho} e^{\mp jkz} \quad (2.83)$$

$$H_z^{TEM} = H_{\rho}^{TEM} = 0 \quad (2.84)$$

Onde:

$$\eta = \sqrt{\frac{\mu}{\epsilon}} \quad (2.85)$$